# 論文 速度スペクトル平均値を用いた中低層 RC 造建物の最大応答変位の 簡易予測式

伊藤 嘉則\*1・楠 浩一\*2・小川 諄\*3

要旨:中低層 RC 造建物を対象とする地震応答解析から得られた最大応答変位と地震動指標の関係を検証した。取り上げた地震動指標の因子は、速度応答スペクトルの平均値(速度スペクトル平均値と定義)であり、平均する周期の範囲を建物の降伏点周期に応じて変化させて求めた。平均する周期の範囲は、相関分析をもとに降伏点周期の 0.9~1.1 倍と定義し、それをもとに最大応答変位の予測式を定量化した。予測式の推定精度は、Housner および境により示された積分範囲を用いて求めた予測値より高く、等価線形化法から求まる予測値と概ね同程度にあることを確認した。

キーワード:速度応答スペクトル,地震動指標,最大応答変位,周期帯

#### 1. はじめに

鉄筋コンクリート(以下,RC)造による既存建物の耐震性能は、文献1)の耐震診断基準で判定されることが多い。同診断基準は、初期の制定から約40年が経過しており数度の改訂が行われているが、構造耐震指標Is、すなわち、建物が保有する耐力と靱性性能を判定するという思想に変わりはない。それゆえ、文献1)に従う限りは、地震時に生じる応答変位を直接評価することができない。

一方、応答変位を算定する手法の一つに等価線形化法がある。等価線形化法は、建築基準法施行令の限界耐力計算に取り入れられており $^{2}$ 、従来の仕様規定とは異なった性能規定型の耐震設計と位置付けられ、変位応答スペクトル $_{\max}S_{d}(T_{eq},h_{eq})$ が式(1)で表される。

$$_{\text{max}} S_d(T_{eq}, h_{eq}) = F_h \cdot S_a(T_{eq}, h_{0.05}) / \omega_{eq}$$
 (1)

 $F_h$ :減衰補正係数, $S_a(T_0$  , $h_{0.05}$ ):減衰定数 5%の加速度応答スペクトル, $\omega_{eq}$  :等価振動数

式(1)は、建物の塑性化に伴った減衰性能により要求性能を低減できる算定式となっている。 $F_h$ の算定式は、等価粘性減衰定数  $h_{eq}$  の関数となっており、 $h_{eq}$  は、塑性化時の履歴吸収エネルギー性能を表している。したがって、等価線形化法は、建物の塑性化に伴う周期の変化を考慮した評価手法となる。言い換えれば、等価線形化法の解は、等価周期、 $F_h$ や $h_{eq}$ の算定精度に依存される。

地震時の被害推定においては、被災度や応答変位を地震動の大きさを表す指標値(以下、地震動指標とする)との関係で評価する試みがなされている <sup>3)</sup>。地震動指標の因子は、地動の最大加速度、SI値、計測震度などがある。これらは、地震動の大きさそのものを表わす物理値であるが、被害推定に当たっては、被害率もしくは推定変位と相関のある因子が採用されている。

筆者らにおいても、中低層 RC 造建物の最大応答変位 と地震動指標の関係を、地震応答解析に基づき検証を進 めている<sup>4), 5)</sup>。その概要は、次のとおりである。文献 4) では、模擬地震波を入力波とする6階建てを対象とし、 最大応答変位と地震動指標の相関関係を調べた。地震動 指標として取り上げた因子は、地動の最大加速度および 加速度応答スペクトルの最大値であるが、両因子ともに 最大応答変位との相関性を有していなかった。他方、加 速度応答スペクトルの平均値を求め、これを地震動指標 の因子としたところ,最大応答変位の定性的な傾向を把 握することができた。ここで、平均値とは、Housner の SI 値を参照して、減衰20%時の加速度応答スペクトルを周 期 0.1~2.5s 間で平均した値である。しかし、平均する周 期範囲が広いため相関係数は高い値ではなく, かつ, 解 析条件も限定的であった。これを受け、文献 5)では、模 擬地震波および観測地震波を入力波とし、対象建物を 3 階,7階,11階とする解析を行った。ただし、同文献で は、減衰5%時の速度応答スペクトに着目しており、さ らには, 周期範囲を建物の降伏点周期に応じて変化させ て求める平均値を地震動指標の因子としている。これら の研究の最終目標は、地震動指標を用いて中低層 RC 造 建物の最大応答変位の予測式を定量化することにある。 弾性応答スペクトルをもとに建物の塑性化を考慮できる 地震動指標を定め,同指標を用いて最大応答変位を精度 よく評価できれば、等価線形化法でいう F<sub>h</sub>を用いること なく簡易な予測法になりうる。

本論文は、地震動指標に速度応答スペクトルの平均値を用いることの意義を述べたうえで文献5)の結果を再整理した。また、新たに得られた知見をもとに定量化した予測式を示すとともに、他の算定式を含めた推定精度の比較検証を行った。

<sup>\*1</sup> 東京大学地震研究所 共同研究員 修士(工学) (正会員) (建材試験センター)

<sup>\*2</sup> 東京大学地震研究所 准教授 博士(工学) (正会員)

<sup>\*3</sup> 東京大学大学院 工学研究科 建築学専攻 修士課程

#### 2. 地震動指標の定義

#### 2.1 速度応答スペクトルについて

1章で述べた地震動指標のうち、地動の最大加速度は、 短周期建物の最大応答変位を検証する際に多々利用され ている。しかし、最大応答変位との相関は、固有周期が 大きくなるにつれ低下し、その間、最大速度による因子 との相関が高くなる特徴がある 3)。変形性能を有する建 物は、 塑性化時に周期の伸びが生じることを考えると、 短周期建物でも地震動指標の因子は加速度値より速度値 の方が適している可能性がある。また、その際には、建 物と地震動相互の周期特性を考慮した方がよいといえる。 その代表値として応答スペクトルがあり、中でも、速度 応答スペクトル Svは、地震動が建物に与える最大のエネ ルギーと扱える<sup>6</sup>。Housner は、これを建物の損傷を表す 入力エネルギー  $(mS_v^2/2)$  として表し,  $mS_v^2/2$  は, 建物の 吸収エネルギーと対比される。ここで、mは質量。エネ ルギーの対比(釣り合い式)に基づく耐震判定は、建物 の損傷すなわち応答変位を把握することのほかならない ので<sup>以上,例えば7)</sup>、S<sub>v</sub>は最大応答変位を表わす地震動指標と して工学的意味を有する因子と考える。

#### 2.2 凍度応答スペクトルの平均値について

応答スペクトルの最大値は、スペクトル曲線中のピーク点に過ぎない。図-1(a)は、ある地震波の速度応答スペクトルであるが、実地震動から得られるスペクトル形

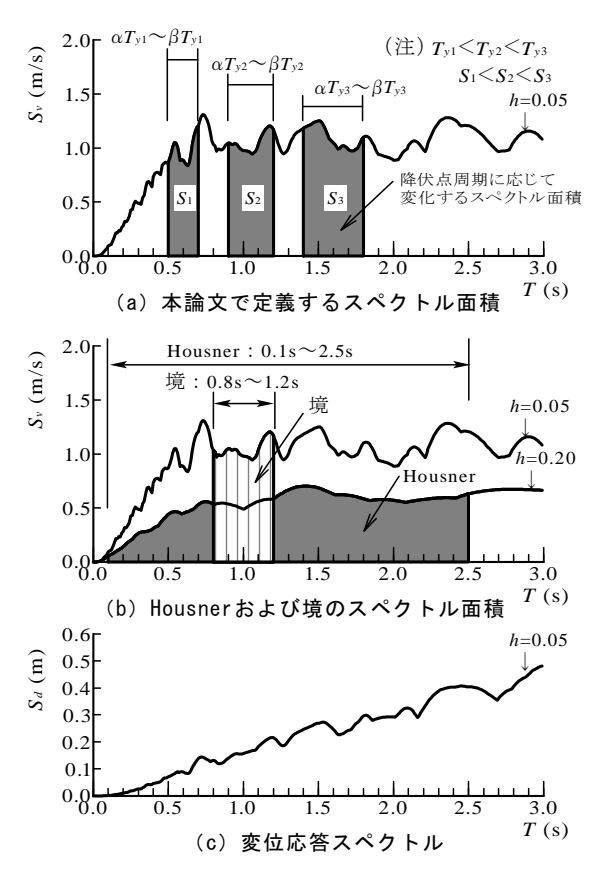


図-1 速度応答スペクトルとスペクトル面積の考え方

状には凹凸があり、わずかな周期の変化でスペクトル値は異なる値(変動)をとる場合がある。したがって、塑性化に伴う周期変化への対応も含めて、 $S_{v}$ を地震動指標の因子として取り扱う際には、平均的に捉えた値の方が変動の影響を少なくできる可能性がある。

その一つが、Housner の SI 値(図-1(b))である。た だし, SI 値は, 周期 0.1~2.5s 間のスペクトル面積で, 単 位はmもしくはcmとなる。また、SI値は、周期範囲が 広範囲にあり、それゆえ、境らは8,中低層 RC 造建物 (固有周期は 0.2~0.5s 程度を想定)に限定する際の周期 として 0.8~1.2s を提案 (図-1(b)) した。補足説明とし て、Housner は減衰 20%を対象としているが、境の研究 では減衰 5%となっている。0.8~1.2s による周期は、塑 性化時の周期の伸びを表わしている。しかし、固有周期 の α 倍などの表現になっていないので、周期範囲に対す る検証の余地はある。また、スペクトル面積は、地震動 が持つ破壊力と扱われているものの, 設計では, 一般に 応答スペクトルが採用されている。その際、Svは、変位 応答スペクトル  $S_d$  と固有振動数  $\omega$  を介して  $S_{d=}$   $S_{v}/\omega$  の 関係があり、 $S_d$ は、速度一定域にあるような場合でも周 期の増大に伴い右上がりにある( $\mathbf{図}-\mathbf{1}(\mathbf{c})$ )。つまりは、 仮にωを定数化したとしても周期に比例して増加するSv 値を評価できれば、Svは応答変位を直接表しえることに なる。したがって、変位との関係を説明する際の地震動 指標としては、スペクトル面積より Svの方が工学的意味 を示しやすい。ただし, Svを前述した「地震動が建物に 与える入力エネルギー」とみなすとき,変位とエネルギ 一量は必ずしも比例関係にあるとは限らないので、応答 変位と S<sub>v</sub>の関係を応答解析により確認する必要がある。 なお、加速度応答スペクトル $S_a$ に対して $S_d=S_a/\omega^2$ の関係 もある。しかし、 $S_a$ は、質量mを用いてせん断力に換算 され, 塑性域では一般にせん断力が横ばいとなるので,  $S_a$ との比例関係を直接表現できない。すなわち、 $S_a$ のエ 学的意味としては, 荷重効果を表すに過ぎない。

以上、地震動指標の因子としてS、に着目するが、はじめに降伏点周期T、に応じて積分範囲が変動するスペクトル面積を求める。ついで、式(2)に示すように、これを速度値(m/s)、もしくはcm/s)に再変換する。

$$_{\text{ave}}S_{\nu}^{"} = \frac{1}{\beta \cdot T_{y} - \alpha \cdot T_{y}} \int_{\alpha \cdot T_{y}}^{\beta \cdot T_{y}} S_{\nu}(h_{0.05}) \cdot dT$$
 (2)

しかしながら、式(2)は、区間  $\alpha T_y \sim \beta T_y$  におけるスペクトルの平均値( $=({}_1S_v + {}_2S_v + \cdot \cdot \cdot + {}_nS_v)/n$ ,  ${}_1S_v \sim {}_nS_v$ : スペクトル計算の刻み時間 (本論文では 0.01s) ごとのスペクトル値、n: サンプリングデータ数)と等値である。この場合、理想化された告示スペクトルの速度一定域  ${}^2$ においては、常に一定値が算出される。すなわち、 $T_y$ に応じて積分範囲が変動する意義を失う。そこで、 $T_y$ の増大とともにス

ペクトル面積が大きくなることを考慮できる aveSvとして( $\mathbf{Z}-\mathbf{1}(\mathbf{a})$ 中の面積: $S_1 < S_2 < S_3$ ),重みづけを表す特定周期 Wで除した式(3)で評価する(以下,速度スペクトル平均値)。ここで,Wの単位は s と位置づけている。すなわち,本手法は,スペクトル面積を求める際の積分範囲に降伏点周期を考慮し,それを特定周期で除すことに特徴がある。

ave 
$$S_v = \frac{1}{W} \int_{\alpha \cdot T_v}^{\beta \cdot T_y} S_v(h_{0.05}) \cdot dT$$
 (3)

なお、式(3)において、区分面積を求める際の求積法として文献 5)では台形面積の公式を用いたが、本論文では積分計算の精度を高めるためシンプソンの公式による再計算を行った。ここで、Housner や境のスペクトル面積を式(3)の aveSvで表すと、それぞれ次式となる。

$$_{\text{ave}} S_{\nu} = \frac{1}{W} \int_{0.1}^{2.5} S_{\nu}(h_{0.20}) \cdot dT$$
 (4a)

ave 
$$S_v = \frac{1}{W} \int_{0.8}^{1.2} S_v(h_{0.05}) \cdot dT$$
 (4b)

#### 3. 解析の概要

検討データは,文献 9),文献 10)で得られた地震応答解析結果を用いる。ただし,模擬地震波(継続時間 120s)が追加されている。ここでは,解析条件の概要を述べる。

# 3.1 解析条件

文献 9)、文献 10)で取り上げた建物は、柱曲げ降伏が 先行する純ラーメン RC 造である。階数は、3 階、7 階、 11 階の 3 種類で、多質点系せん断型モデルとした。各階 平面寸法( $10m\times30m$ )、各階階高( $H_0=3.3m$ )、各階重量 ( $W_i=3600k$ N)は、3 つの建物で同一である。骨格曲線は、 図-2 に示すひび割れ点および降伏点から構成されるト リリニア型である。各階降伏耐力 $Q_{yi}$ は、Ai 分布をもと に $Q_{yi}=Ai\cdot C_{yb}\cdot \Sigma W_i$ より求めた。ここで、 $\Sigma W_i$ は、i 階より 上層階の建物重量合計値である。 $C_{yb}$ は、1 階の降伏せん 断力係数であり、0.3、0.4、0.5、0.6 による 4 種類である。 これにより、解析対象の建物数は、12 種類となる。

履歴則は、剛性低下型とするが降伏点に達するまでは原点指向型とした。数値積分は、Wilson の $\theta$  法で、刻み時間が0.001s である。減衰は、初期減衰定数を5%とする瞬間剛性比例型とした。

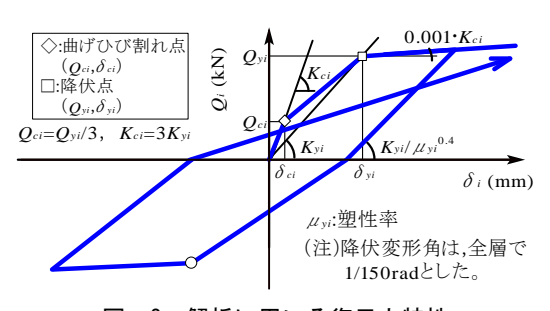


図-2 解析に用いる復元力特性

#### 3.2 入力地震波の特性

模擬地震波 %は、平成 12 年建設省告示 1461 号で規定する減衰 5%に対応する解放工学的基盤における告示の加速度応答スペクトル(極めて稀に起こる地震)を目標に作成した 2)。表層地盤による加速度増幅率は、第 1~第 3 種地盤に対して簡略法の算定式(平 12 年建告第 1457 号第 7)を用いた。位相特性は乱数、包絡関数は Jennings型である。継続時間は 60s と、文献 4)で作成した 120s を追加解析した。地震波数は、地盤種別ごとに 20 波ずつ作成し、合計 120 波となる。観測地震波 100は、表 -1 に示す 16 種(観測地点の違い、NS および EW 成分を含めた計 94 波)であり、最大速度 50kine に基準化した。

図-3 は、模擬地震波および観測地震波の速度応答スペクトルである。スペクトル計算の刻み時間は 0.01s, 数値計算法は、地震応答解析に用いた Wilson の $\theta$  法である。図において、観測地震波は、模擬地震波の加速度一定域に相当する範囲 (T=0.58~1.15s) おいて大きなスペクトル値を有する地震波形が含まれている。模擬地震波は、同一地盤種においても地震動指標にある程度の範囲をもたせるため、目標スペクトルに対してばらつきを有する波形が作成されている。

# 4. 解析結果

#### 4.1 最大応答変位について

最大応答変位  $_{\rm M}$   $\delta$   $_{\rm max}$  は,式(5)で示すように,変位時刻 歴において刻み時刻  $_{\rm t}$  秒ごとに 1 階~N 階の累計値  $\delta$  (t) を求め,全継続時間の中の正負絶対値の最大値とした。

$$_{\rm M}\delta_{\rm max} = \underset{\rm max}{\Big|} \delta(t) \, \Big| \, , \quad \delta(t) = \sum_{\rm n=1}^{\rm N} {}_{\rm n}\delta(t)$$
 (5)

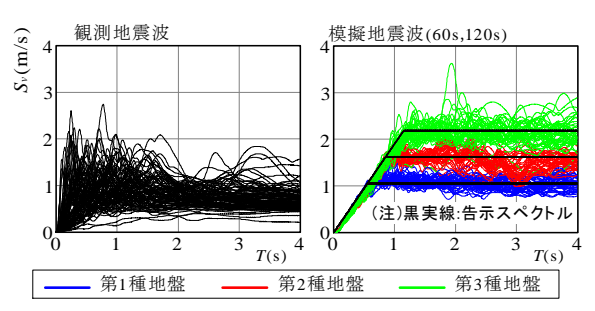


図-3 速度応答スペクトル(減衰5%)

表-1 観測地震波

No	地震波名			
1	1940年 Imperial Valley地震(EL CENTRO)	1		
2	1952年 Kern Country地震(TAFT)	1		
3	1963年 Sendai501	1		
4	1968年十勝沖地震(八戸港湾)	1		
5	1978年 宮城県沖地震(東北大学)	1		
6	1993年 釧路沖地震(釧路地方気象台)	1		
7	1994年 Los Angeles 地震 (Northridge)	1		
8	1995年 兵庫県南部地震	5		
9	1999年 台湾集集地震	4		
10	2000年 鳥取県西部地震	5		
11	2001年 芸予地震	5		
12	2004年 新潟県中越地震	4		
13	2005年 福岡県西方沖地震	3		
14	2008年 岩手宮城内陸地震	4		
15	2011年 東北地方太平洋沖地震	3		
16	2011年 ニュージーランド地震	7		

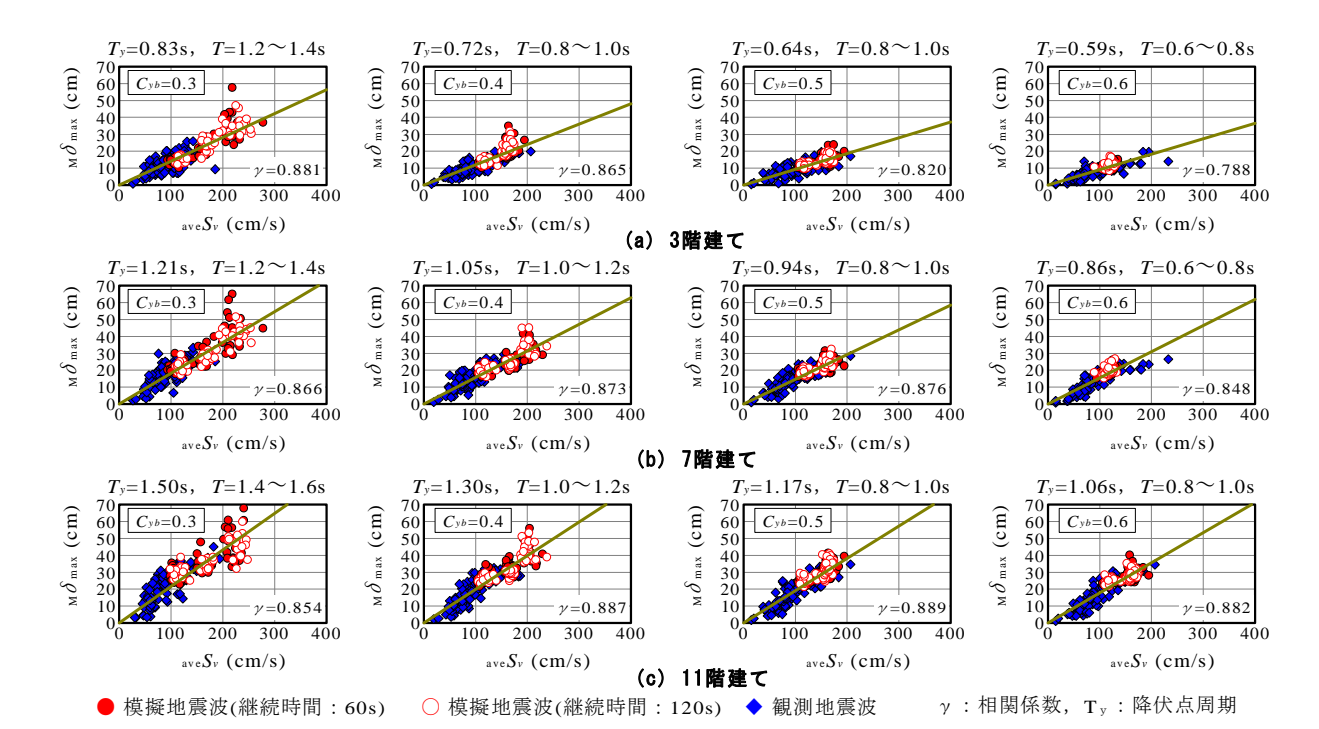


図-4 多質点系の最大応答変位と速度スペクトル平均値 ave S<sub>v</sub>の関係

なお,最大応答変位と地震動指標の関係を把握する際には,対数正規分布を利用することが多い $^{\text{II}}$ 。しかし,本来求めたい目的変数は, $_{\text{M}}\delta_{\text{max}}$  値そのものであり対数値ではないので, $_{\text{M}}\delta_{\text{max}}$  で表される単回帰式を用いて検証する。ここで,  $_{\zeta}$  は,回帰係数である。なお,文献 5)では,べき乗式を用いたが,本論文では予測式をより簡便に表すために単回帰式とした。

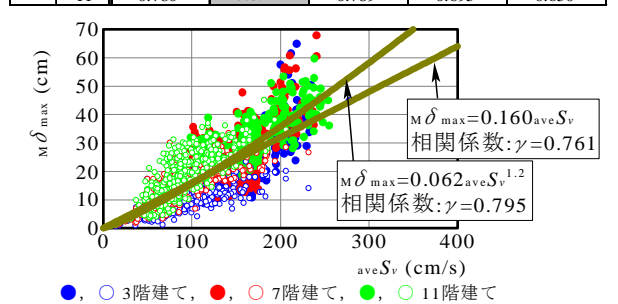
#### 4.2 最大応答変位と速度スペクトル平均値の関係

最大応答変位  $_{\rm M}$   $_$ 

$$_{\rm M}\delta_{\rm max} = 0.160_{\rm ave}S_{\nu} \tag{6}$$

表-2 単回帰式に対する相関係数

パラメータ		周期範囲(s)					
$C_{yb}$	階数	0.6~0.8	0.8~1.0	1.0~1.2	1.2~1.4	1.4~1.6	
0.3	3	0.551	0.788	0.875	0.878	0.859	
	7	0.494	0.759	0.866	0.870	0.852	
	11	0.483	0.721	0.831	0.855	0.855	
0.4	3	0.688	0.863	0.861	0.846	0.821	
	7	0.647	0.849	0.873	0.843	0.811	
	11	0.570	0.815	0.889	0.852	0.827	
0.5	3	0.792	0.820	0.774	0.729	0.687	
	7	0.775	0.878	0.802	0.727	0.689	
	11	0.696	0.892	0.871	0.798	0.755	
0.6	3	0.800	0.741	0.641	0.559	0.526	
	7	0.875	0.833	0.706	0.608	0.567	
	11	0.780	0.891	0.789	0.695	0.650	



(注) 塗潰し:模擬地震波 (60s・120s), 白抜き:観測地震波

図-5 全データの最大応答変位と 速度スペクトル平均値  $_{ave}S_{v}$ の関係

表-2 中の網掛けで示された周期範囲をみると、式(3)中の $\alpha$ は $T_y$ に対して $0.69\sim1.45$ 倍(平均0.95倍), $\beta$ は $T_y$ に対して $0.86\sim1.69$ 倍(平均1.17倍)にあった。ばらつきを有するもののこれらの平均値をもとに $\alpha$ =0.9 および $\beta$ =1.1 と定義する。他方、特定周期Wは、今後も検討が必要であるが、ここではW= $\beta$ - $\alpha$ で与えると、速度スペクトル平均値が式(7)で表される。

$$_{\text{ave}}S_{v} = \frac{1}{0.2} \cdot \int_{0.9T_{y}}^{1.17_{y}} S_{v}(h_{0.05}) \cdot dT$$
 (7)

これにより、最大応答変位の予測式が式(8)で与えられる。

$$_{\text{cal}} \delta_{\text{max}} = 0.160 \left[ \frac{1}{0.2} \cdot \int_{0.9T_y}^{1.1T_y} S_{\nu}(h_{0.05}) \cdot dT \right]$$
 (8)

# 4.3 推定精度の検証

式(8)の計算値推定精度を、Housner 法および境法との比較を含めて確認する。なお、本来は、Housner 法と境法の予測値は原提案に従ってスペクトル強度で評価すべきであるが、式(8)との比較を兼ね W=0.2 とした式(4a)および式(4b)による ave $S_v$  を用いる。図-6 より、Housner 法と境法の予測式は、式(9)および式(10)となる。

Housner 法:
$$_{cal}\delta_{max} = 0.027_{ave}S_{v}$$
 (9)

境 法: 
$$_{\text{cal}}\delta_{\text{max}} = 0.079_{\text{ave}}S_{\nu}$$
 (10)

図-7は、 $_{\rm M}$   $\delta_{\rm max}$  と式(8)~式(10)による予測値  $_{\rm cal}$   $\delta_{\rm max}$  の関係である。図より、式(8)の推定精度は、式(9)および式(10)より高い結果にあった。ここで、例えば、境式の積分範囲 0.8~1.2 を  $\alpha$ ,  $\beta$  に換算 (本建物条件 12 種の平均値) すると  $\alpha$ =0.87,  $\beta$ =1.31 となり、 $\beta$ - $\alpha$  が 0.44 となる。このとき、式(10)の回帰係数は 0.173 となり、予測値  $_{\rm cal}$   $\delta_{\rm max}$  と  $_{\rm M}$   $\delta_{\rm max}$  の間で得られる相関係数は 0.651、標準偏差は 0.384 となる。すなわち、図-7 の結果と大差ない。したがって、 $_{\rm ave}$   $S_v$  を求める際の積分範囲は、降伏点周期に応じて変化させて求めることの必要性が認められる。

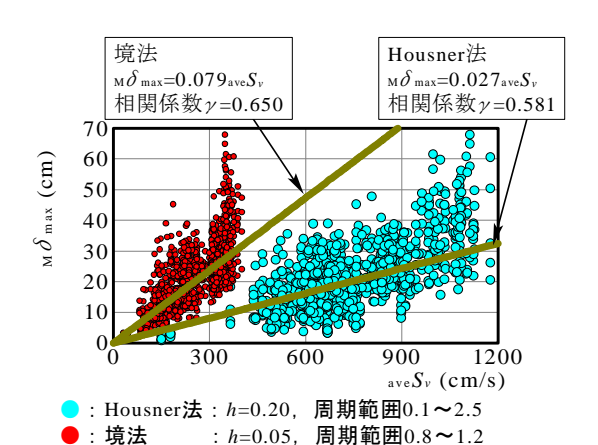


図-6 最大応答変位と速度スペクトル平均値 (Housner 法および境法)の関係

るが、その平均値は 1.9(模擬地震波が 2.4(範囲: 1.2~11.2)および観測地震波が平均値 1.5(範囲: 0.06~5.1))となる。このことは、最大応答変位時の等価周期  $\max T_{eq} = \sqrt{\mu_{\max}} \cdot T_y$  の多くは  $T_y$  の約 1.4 倍であることを意味する。一般に振動中の周期を平均的に捉える場合は、1 以下の縮小係数を  $\max T_{eq}$  に乗じて評価することが多く、その係数として 0.8 を適用すると式(7)の  $1.1T_y$ に近い値を得る。その際、 $\mu_{\max}$  が 5 を超えるデータも有するが、模擬地震波や観測地震波によるスペクトル形状の違いを含め、ここで示した  $\max S_v$  を用いれば  $\max S_v$  を割らに把握できることが少なからず明らかとなった。

ここで、 $\mathbf{Z}-7$ は、塑性率 $\mu_{\text{max}}$ ごとにプロットしてあ

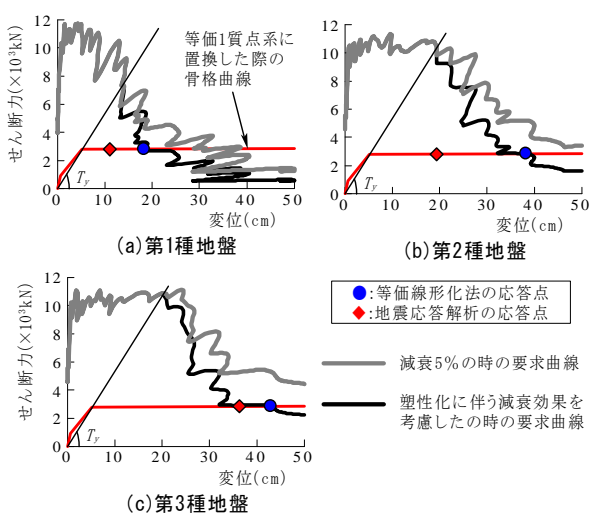


図-8 等価線形化法による応答点の一例

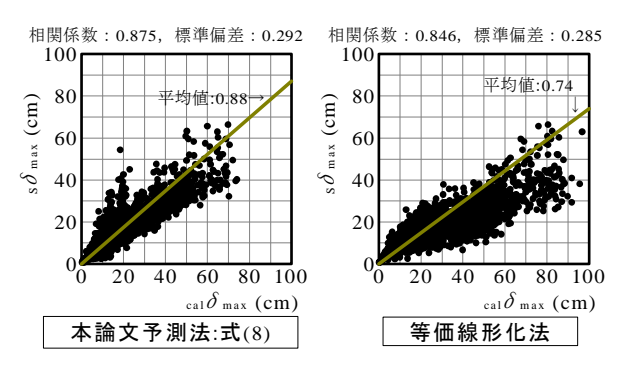


図-9 等価1質点系の最大応答変位と予測値 (本論文予測法,等価線形化法)の関係

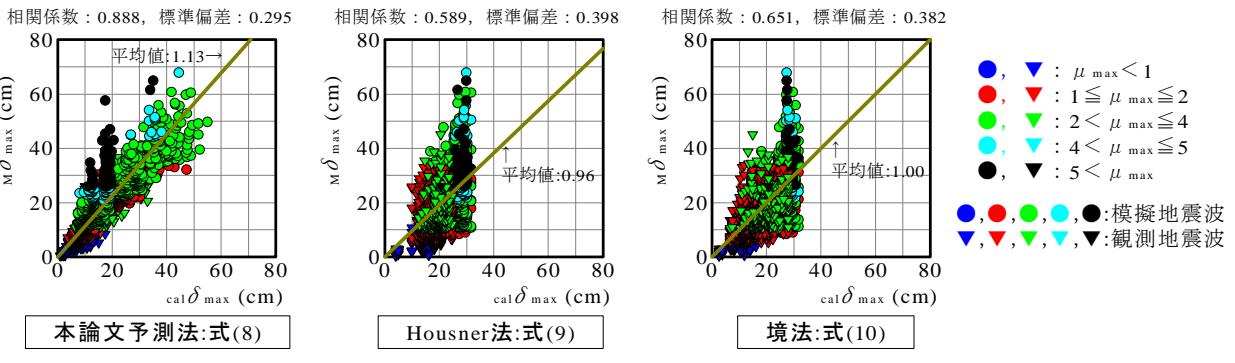


図-7 多質点系の最大応答変位と予測値(本論文予測法, Housner 法, 境法)の関係

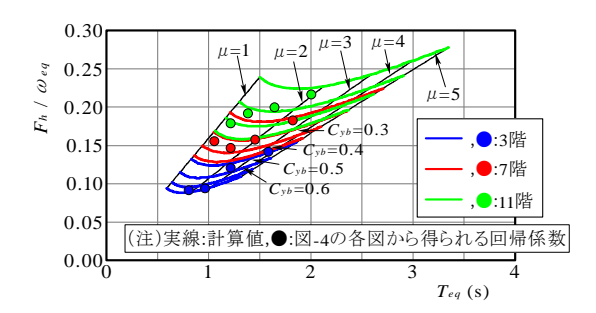


図-10 計算値  $F_h/\omega_{eq}$ および回帰係数と  $T_{eq}$ の関係

ついで、等価線形化法による予測値との比較を試みた。 検証に際しては、多質点系モデルを等価 1 質点系に置換  $9^{1}$   $10^{1}$  し、減衰補正係数  $F_h$  は告示の式  $2^{1}$  を用いた。  $2^{1}$  を一線形化法による応答結果の一例である。

$$_{\text{cal}}\delta_{\text{max}} = \frac{F_h}{\omega_{eq}} \left[ \frac{1}{0.2} \cdot \int_{0.9T_v}^{1.1T_y} S_v(h_{0.05}) \cdot dT \right]$$
 (11)

 $F_h = 1.5/(1+10h_{eq})$ ,  $h_{eq} = 0.25 \left(1-1/\sqrt{\mu_{\text{max}}}\right) + 0.05$ 式(11)において、建物の塑性率 $\mu$ が 1~5 まで増大する際 の  $F_h/\omega_{eq}$  を 12 種類の建物条件ごとに計算し、 $\mu$  の変動 を等価周期で表した  $T_{eq}$  との関係を $\mathbf{Z}-10$  に示す。図中 には、図-4の各図から得られる回帰係数と、各図の塑 性率の平均値を  $T_{eq}$  に換算した値との関係も示したが、 計算値と回帰結果はあまり一致していない。これは,等 価周期や $F_h$ の解の精度が要因の一つにある。ただし、 $\mu$ が 1~5 の範囲での 12 種類の計算値 F<sub>h</sub>/\overline{O}eq の平均値は 0.162 であり, 式(8)中の係数 0.160 は計算値  $F_h/\omega_{eq}$  を包括 した定数で表し得たことになる。今後も計算値 Fnに対す る詳細な検討が必要であるが、最大応答変位の簡易な予 測式として式(8)を取得できたと判断している。なお,2 章で述べた Sv と応答変位の関係として,本論文の検討下 では両者は概ね比例関係にあることがわかったが、式(8) の適用範囲は本解析条件下となる。

### 5. まとめ

中低層 RC 造建物を対象とした地震応答解析から得られた最大応答変位と地震動指標の関係を検証し、最大応答変位の予測式を定量化した。検証に先立っては、地震動指標として速度応答スペクトルを用いること、その際に平均値 aveSvで評価することの意義を述べたうえで予測式の定量化を図った。得られた知見を、以下に示す。

1) 降伏変形角を 1/150rad 一定とした本解析モデルの建物は、階数が同じ場合、 $C_{vb}$ が大きくなるにつれ建物

- の降伏点周期  $T_v$ が小さくなる。これに合わせて、最大応答変位と相関のある  $aveS_v$ の周期範囲も小さくなる傾向にあった。
- 2) 最大応答変位時の周期を平均的に捉える周期帯として, 相関分析から 0.9 *Ty*~1.1 *Ty* と定義した。
- 0.9 *Ty*~1.1 *Ty* による周期範囲をもとに ave *Sv* を定め, 同指標を用いて算出する最大応答変位の予測式を 求めた。
- 4) 予測式の推定精度は、Housner および境により示された積分範囲をもとに算定した予測値に比べて、推定精度が高い結果にあった。また、等価線形化法から求まる予測値と概ね同程度であった。提案する予測式を用いれば、減衰補正係数 F<sub>h</sub>を用いることなく簡易に最大応答変位を予測できる。

## 参考文献

- 1) 日本建築防災協会: 2001 年改訂版 既存鉄筋コンク リート造建築物の耐震診断基準および耐震改修設計 指針・同解説, 2001
- 2) 国土交通省住宅局建築指導課・国土交通省国土技術 政策総合研究所・建築研究所・日本建築行政会議監 修:2007 年版 建築物の構造関係技術基準解説書, 2007
- 3) 日本建築学会: 地盤震動と強震動予測-基本を学ぶた めの重要項目-, pp.213-236, 2016.3
- 4) 伊藤嘉則, 五十田博:表層地盤の増幅特性係数を考慮して作成した模擬地震波の地震動指標と6階建て 鉄筋コンクリート造建築物の最大応答変位との関係, 日本コンクリート工学年次論文集, Vol.37, No.2, pp.715-720, 2015
- 5) 小川諄,楠浩一,伊藤嘉則:速度スペクトル平均強度を用いた中低層 RC 造建築物の簡易な応答変位予測法(その1およびその2),日本建築学会学術講演梗概集(構造IV),pp.681-684,2017
- 6) 大崎順彦:建築振動理論,第2版,pp.84-87,彰国社,
- 7) 秋山宏:建築物の耐震極限設計,第2版,東京大学 出版,1987
- 8) 境有紀,吉岡伸悟,纐纈一起,壁谷澤寿海:1999年 台湾集集地震に基づいた建物被害を予測する地震動 の破壊力指標の検討,日本建築学会構造系論文集, 第549号,pp.43-50,2001.11
- 9) 伊藤嘉則,楠浩一:等価1質点系及び多質点系モデルによる地震応答解析をもとに検証した靱性指標式, 日本コンクリート工学年次論文集,Vol.38, No.2, pp.925-930,2016
- 10) 伊藤嘉則, 楠浩一:観測地震波を入力波とする地震 応答解析をもとに検証した靱性指標式, 日本コンク リート工学年次論文集, Vol.39, pp.715-720, 2017
- 11) 防災科学技術研究所:構造物の地震損傷度評価手法の検討,防災科学技術研究所研究資料,第237号, 2003.2